

01;03

О влиянии эффекта релаксации поверхностного натяжения на спектр движений жидкости с заряженной свободной поверхностью

© С.О. Ширяева, О.А. Григорьев

Ярославский государственный университет им. П.Г. Демидова,
150000 Ярославль, Россия

(Поступило в Редакцию 23 марта 1999 г.)

Исследована структура спектра капиллярно-релаксационных движений жидкости с заряженной свободной поверхностью с учетом эффекта релаксации поверхностного натяжения при наличии двух характерных релаксационных времен, связанных с различными физическими механизмами. Показано, что с каждым релаксационным механизмом связан свой набор волновых движений жидкости. Релаксационные движения жидкости, связанные с различными релаксационными процессами, взаимодействуют друг с другом и капиллярно-гравитационными волнами нелинейным образом.

Феномен релаксации поверхностного натяжения, или эффект динамического поверхностного натяжения, проявляющийся в зависимости величины коэффициента поверхностного натяжения от характерного времени деформации поверхности в диапазоне частот $10^{-9} \leq \omega \leq 10^9$ Hz, по своей сути является дисперсионным эффектом и представляет значительный интерес в связи с многочисленными приложениями [1–5]. В частности, обсуждаемый эффект играет важную роль в электродиспергировании жидкости, реализующемся с характерными временами, меньшими 0.01 s [6,7]. Тем не менее большинство новых работ узконаправлены и связаны с измерением характерных параметров эффекта динамического поверхностного натяжения для конкретных жидкостей при различных внешних условиях. Что же касается физической природы обсуждаемого эффекта, то этот вопрос до сих пор исследован весьма мало и лишь на качественном уровне. В частности, слабо исследованы закономерности взаимодействия капиллярных движений жидкости и дисперсионных (порождаемых зависимостью величины коэффициента поверхностного натяжения от характерного времени внешнего воздействия); мало изучена физическая природа самого феномена, хотя работы в этом направлении ведутся (см., например, [4–10] и указанную там литературу).

При исследовании влияния эффекта релаксации коэффициента поверхностного натяжения на спектр капиллярных движений жидкости его можно учесть введением комплексного коэффициента поверхностного натяжения σ согласно известной формуле Максвелла [1,5]:

$$\sigma = \sigma_{\infty} - \sigma_*(1 - i\omega\tau)^{-1} = \sigma_0 - i\omega\tau\sigma_*(1 - i\omega\tau)^{-1};$$

$$\sigma_* = \sigma_{\infty} - \sigma_0,$$

представляющей собой фурье-образ простейшей временной зависимости величины коэффициента поверхностного натяжения свободной поверхности жидкости, выведенной из равновесного состояния

$$\sigma(t) = \sigma_0 + \sigma_* \exp(-t/\tau).$$

Здесь σ_0 — значение коэффициента поверхностного натяжения на нулевой частоте (т.е. равновесной поверхности жидкости), σ_{∞} — значение коэффициента поверхностного натяжения на высоких частотах (при $\omega\tau \gg 1$), τ — характерное время релаксации поверхностного натяжения (характерное время формирования двойного электрического слоя у поверхности жидкости), ω — комплексная частота в экспоненциальной временной зависимости амплитуд капиллярных движений жидкости вида $\zeta(t) \sim \exp(i\omega t)$, i — мнимая единица.

Имея в виду физико-химическую природу эффекта динамического поверхностного натяжения, а именно его связь с наличием двойного электрического слоя у поверхности жидкости, появление которого вызвано действием механизмов различной физической природы (ориентирующим влиянием свободной поверхности жидкости на дипольные молекулы, электростатическим взаимодействием вблизи поверхности связанных и свободных зарядов жидкости, диффузионным размыванием упорядоченной приповерхностной структуры жидкости, наличием поверхностно активных веществ и их концентраций), естественно попытаться обобщить рассматриваемый эффект на случай одновременного существования нескольких характерных времен релаксации поверхностного натяжения у одной и той же жидкости.

1. Предположим для определенности существование двух характерных времен релаксации поверхностного натяжения τ_1 и τ_2 . Тогда коэффициент поверхностного натяжения $\sigma(t)$ может быть записан в виде

$$\sigma(t) = \sigma_0 + \sigma_1 \exp(-t/\tau_1) + \sigma_2 \exp(-t/\tau_2),$$

где σ_0 — значение коэффициента поверхностного натяжения равновесной поверхности; σ_1 и σ_2 — поправки к σ_0 , проявляющиеся при отклонении поверхности от равновесного состояния и включении различных релаксационных механизмов.

Соотношение, определяющее связь между изменениями давления на поверхности и кривизной поверхности,

имеет вид [1,11]

$$\Delta p = \int_{-\infty}^t \sigma(t - \tau) \frac{dU(\tau)}{d\tau} d\tau.$$

Здесь $U(\tau)$ — кривизна поверхности. Для Фурье-образов этого соотношения найдем

$$\Delta p(\omega) = \left(\sigma_0 + \sigma_1 \frac{-i\omega\tau_1}{1 - i\omega\tau_1} + \sigma_2 \frac{-i\omega\tau_2}{1 - i\omega\tau_2} \right) U(\omega).$$

Отсюда можно получить искомое выражение для комплексного коэффициента поверхностного натяжения с двумя характерными временами релаксации

$$\sigma(\omega) = \sigma_0 + \sigma_1 \frac{-i\omega\tau_1}{1 - i\omega\tau_1} + \sigma_2 \frac{-i\omega\tau_2}{1 - i\omega\tau_2}. \quad (1)$$

2. Примем, что имеется однородно заряженная с поверхностной плотностью заряда \varkappa неограниченная плоская поверхность вязкой несжимаемой идеально электропроводной жидкости, заполняющей в поле сил тяжести с ускорением свободного падения $\mathbf{g} \parallel -\mathbf{n}_z$ полупространство $z < 0$ (\mathbf{n}_z — орт оси z). Уравнение свободной поверхности жидкости в декартовой системе координат в отсутствие возмущения записывается в виде $z = 0$. Пусть σ и ν — коэффициенты поверхностного натяжения и кинематической вязкости жидкости, а ρ — ее удельная плотность.

Математическая формулировка задачи о капиллярных движениях жидкости с заряженной свободной поверхностью состоит из линеаризованного уравнения Навье–Стокса, условия несжимаемости жидкости

$$\frac{\partial \mathbf{U}}{\partial t} = -\frac{1}{\rho} \nabla P + \nu \Delta \mathbf{U} + \mathbf{g}, \quad \nabla \cdot \mathbf{U} = 0 \quad (2)$$

и граничных условий

$$\frac{dF}{dt} = \frac{\partial F}{\partial t} + \mathbf{U} \cdot \nabla F = 0, \quad (3)$$

$$\boldsymbol{\tau}(\mathbf{n} \cdot \nabla) \mathbf{U} + \mathbf{n}(\boldsymbol{\tau} \cdot \nabla) \mathbf{U} = 0, \quad (4)$$

$$P - 2\rho\nu\mathbf{n}(\mathbf{n} \cdot \nabla) \mathbf{U} + \sigma \frac{\partial^2 \zeta}{\partial x^2} + 4\pi\varkappa^2 k \zeta = 0, \quad (5)$$

заданных на свободной поверхности, описываемой уравнением

$$F(\mathbf{r}, t) \equiv z - \zeta(x, t) = 0.$$

В этих соотношениях $\mathbf{U}(\mathbf{r}, t)$ — поле скоростей жидкости, связанное с капиллярными движениями свободной поверхности; $P(\mathbf{r}, t)$ — давление внутри жидкости, вызванное наличием поля скоростей $\mathbf{U}(\mathbf{r}, t)$; k — волновое число; $\boldsymbol{\tau}$ и \mathbf{n} — орты касательной и нормали к свободной поверхности; третье слагаемое в (5) определяет давление сил поверхностного натяжения под искаженной капиллярным волновым движением плоской поверхностью жидкости; последнее слагаемое в (5) определяет давление электрического поля на свободную

заряженную поверхность жидкости, происходящее из-за возмущения равновесной плоской поверхности жидкости $\zeta(x, t) = A \exp(ikx - i\omega t)$ [12], выписанное в линейном по амплитуде возмущения приближении. Поле скоростей жидкости $\mathbf{U}(\mathbf{r}, t)$ и поле давлений в ней $P(\mathbf{r}, t)$ являются малыми того же порядка, что и амплитуда возмущения ζ .

Система уравнений (2) с граничными условиями (3)–(5) при учете (1) представляет собой математическую формулировку решаемой задачи.

Поле скоростей в задаче (1)–(5) естественно искать на основе теоремы Гельмгольца в виде суммы потенциальной и вихревой компонент аналогично тому, как это делалось в [13],

$$U_x(x, z, t) = (ikB \exp(kz) - lC \exp(lz)) \exp(ikx - i\omega t),$$

$$U_z(x, z, t) = (kB \exp(kz) + ikC \exp(lz)) \exp(ikx - i\omega t),$$

$$l^2 = k^2 - i\omega\nu^{-1}, \quad (6)$$

A , B и C — константы; l^{-1} — характерный линейный масштаб пространственного изменения вихревой компоненты поля скоростей.

Подставляя (6) в (2)–(5), повторяя те же рассуждения, что и в [13] при выводе дисперсионного соотношения для капиллярно-гравитационных волн в вязкой жидкости, и принимая, что σ определено формулой (1), несложно получить дисперсионное соотношение для капиллярно-гравитационных и релаксационных волн, порождаемых эффектом динамического поверхностного натяжения. В безразмерных переменных

$$y = \frac{\omega}{\nu k^2}; \quad \alpha = \frac{\omega_0}{\nu k^2}, \quad \beta_1 = \sigma_1 / \rho \nu^2 k, \quad \beta_2 = \sigma_2 / \rho \nu^2 k,$$

$$\gamma_1 = \nu k^2 \tau_1, \quad \gamma_2 = \nu k^2 \tau_2, \quad \omega_0^2 = \frac{k}{\rho} (g\rho + \sigma_0 k^2 - 4\pi k \varkappa^2)$$

искомое дисперсионное уравнение примет вид

$$(1 - i\gamma_1 y)(1 - i\gamma_2 y) \left([2 - iy]^2 + \alpha^2 - 4\sqrt{1 - iy} \right) - iy(\beta_1 \gamma_1 + \beta_2 \gamma_2) + y^2 \gamma_1 \gamma_2 (\beta_1 + \beta_2) = 0. \quad (7)$$

3. Прежде чем переходить к анализу полученного дисперсионного уравнения, отметим, что оно является трансцендентным. Можно избавиться от радикала, перенеся его в правую часть соотношения (7) и возводя во вторую степень обе части полученного равенства. Тогда мы получим обыкновенное алгебраическое уравнение восьмой степени относительно комплексной переменной y . Ясно, что не все восемь его корней будут иметь физический смысл, так как исходное уравнение (7) из-за наличия в нем радикала определено на двух листах римановой поверхности, т.е. является двузначным. Физически разумные ветви дисперсионного уравнения нужно искать среди решений, определенных на верхнем листе римановской поверхности, соответствующем положительному значению радикала в уравнении (7).

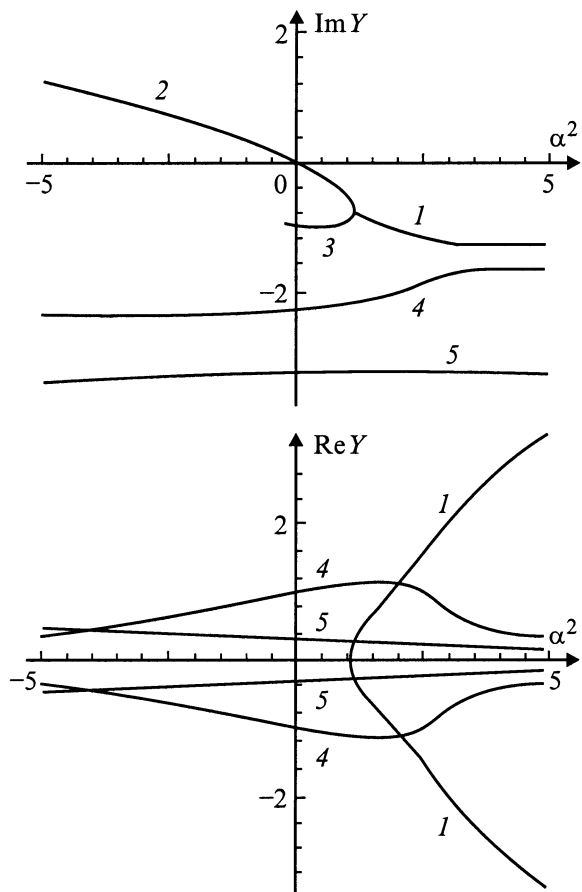


Рис. 1. Зависимость мнимой и вещественной компонент безразмерной частоты y от величины безразмерного параметра α^2 , характеризующего баланс давлений на свободной поверхности жидкости при $\beta_1 = 1, \gamma_1 = 0.5, \beta_2 = 0.5, \gamma_2 = 0.3$.

Решения дисперсионного уравнения, получающиеся при отрицательных значениях радикала в (7), физического смысла не имеют, так как сам радикал, согласно (6), представляет собой безразмерное отношение l/k , т.е. отношение длины волны k^{-1} к характерному линейному масштабу пространственного изменения амплитуды вихревой компоненты поля скоростей l^{-1} . Это отношение по своему смыслу не может быть отрицательным.

На рис. 1–7 представлены зависимости мнимой $\text{Im } y(\alpha^2)$ и вещественной $\text{Re } y(\alpha^2)$ компонент безразмерной комплексной частоты, рассчитанные численно по (7) при фиксированных значениях параметров $\gamma_1, \gamma_2, \beta_1$ и β_2 . На приведенных рисунках ветви 1–3 соответствуют капиллярно-гравитационным движениям жидкости; ветви 4, 5 соответствуют релаксационным волнам, появление которых связано с зависимостью коэффициента поверхностного натяжения от времени. Ветвь 5 связана с релаксационным процессом, характеризуемым временем τ_1 , ветвь 4 — с релаксационным процессом, характеризуемым временем τ_2 . Ветви 6–9 соответствуют составным капиллярно-релаксационным волнам, происходящим из-за взаимодействия капиллярно-гравитационных

и релаксационных волн. Часть ветви 2, расположенная левее начала координат (при $\alpha^2 < 0$), определяет инкремент неустойчивости Тонкса–Френкеля.

Проведенные расчеты показывают, что с каждым из двух введенных соотношением (1) релаксационным процессом связан свой набор капиллярных движений жидкости, качественно схожий с капиллярными движениями, порождаемыми свободной поверхностью. Движения жидкости, связанные с различными релаксационными процессами, взаимодействуют между собой и с капиллярно-гравитационными движениями, порождаемыми свободной поверхностью жидкости, что выражается в образовании при определенных значениях параметров γ_i и β_j составных движений жидкости (ветви 6–9 на рис. 3–7). Рис. 1–7, приведенные для иллюстрации расчетов, подбирались таким образом, чтобы выделить взаимодействия релаксационных движений с капиллярными и друг с другом.

Рис. 1–4 получены при $\gamma_1 = 0.5, \beta_1 = 1, \beta_2 = 0.5$, различных значениях параметра γ_2 из интервала значений $0.3 \leq \gamma_2 \leq 0.65$ и иллюстрируют взаимодействие движения жидкости, связанного с релаксационным процессом, помеченным индексом 2 (ветвь 4), и капиллярно-гравитационными движениями жидкости, вызванными наличием свободной поверхности (ветви 1–3). Видно, что в интервале значений $0.43 \leq \gamma_2 \leq 0.44$ ветви 1

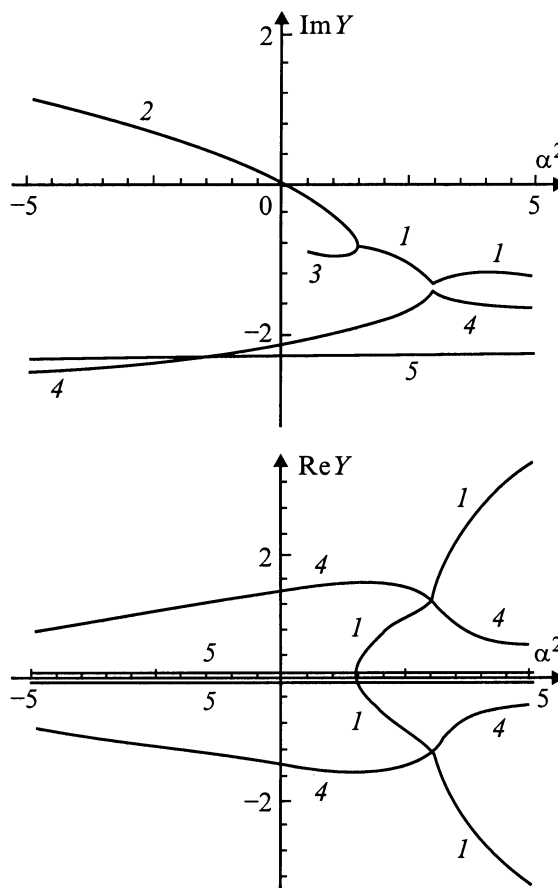
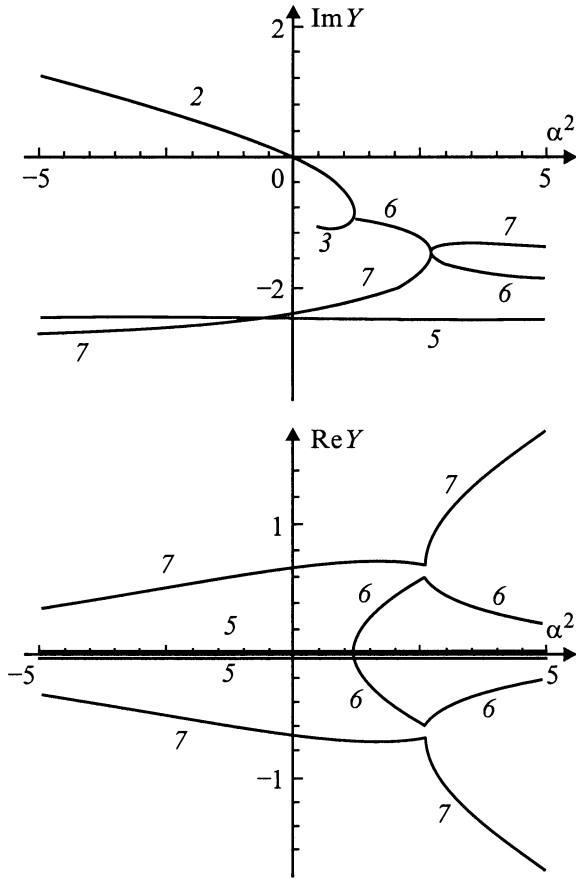


Рис. 2. То же, что и на рис. 1, при $\gamma_2 = 0.43$.

Рис. 3. $\gamma_2 = 0.44$.

и 4, провзаимодействовав друг с другом, образуют два составных движения, описываемых ветвями 6 и 7. Интересно отметить, что характеристики движения 5 (частоты и декременты), связанного с первым релаксационным процессом, при таком взаимодействии также изменяются.

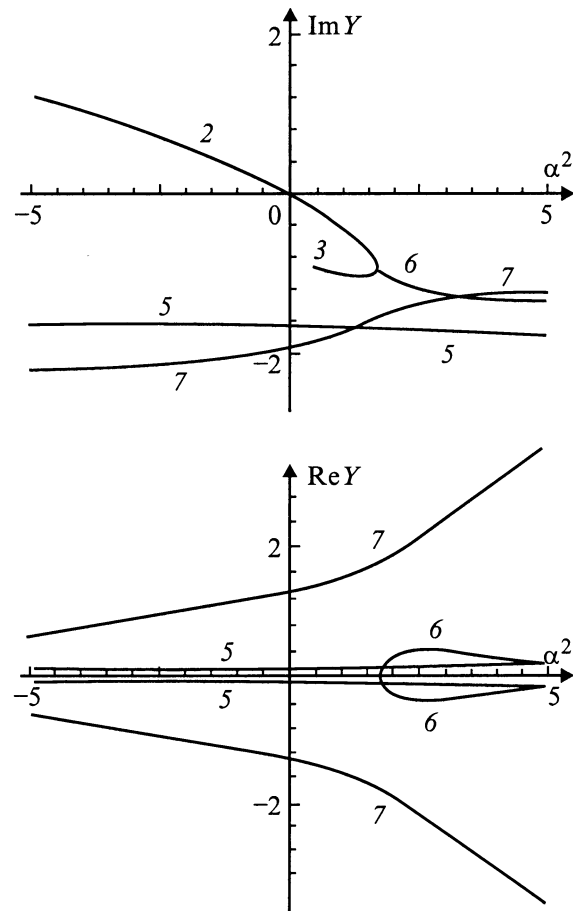
Дальнейшее увеличение параметра γ_2 (рис. 5–7) приводит к деформации ветвей 5–7 и к объединению в интервале значений $0.93 \leq \gamma_2 \leq 0.94$ составного капиллярно-релаксационного волнового движения 7 и релаксационного волнового движения 5 (связанного с первым релаксационным процессом) с образованием двух новых капиллярно-релаксационных волновых движений 8 и 9. Интересно отметить, что как чисто релаксационные, так и составные релаксационно-капиллярные волновые движения реализуются как при положительных, так и при отрицательных значениях α^2 , тогда как капиллярно-гравитационные волны существуют только при $\alpha^2 > 0$.

На рис. 1–7 видно, что с увеличением параметра γ_2 декременты затухания обоих релаксационных движений снижаются. В большей части диапазона изменения параметра α^2 декременты затухания как чисто релаксационных, так и составных капиллярно-релаксационно волновых движений примерно равны частотам или даже превышают их (особенно в области $\alpha^2 < 0$). Поэто-

му о ”волновых” релаксационных движениях следует говорить с осторожностью, имея в виду их сильное затухание за один период. Точка ветвления капиллярно-гравитационных движений 1–2–3 при увеличении параметра γ_2 смещается вправо (а частоты волн снижаются), что, согласно [14], означает сужение спектра реализующихся волновых движений со стороны коротких волн.

При увеличении параметра γ_2 частоты релаксационных волновых движений и составных капиллярно-релаксационных волн в количественном отношении изменяются слабо, хотя качественные зависимости частот таких движений от параметра α^2 могут изменяться достаточно сложным образом.

Проведенный численный анализ показывает, что взаимодействие двух релаксационных движений друг с другом и с капиллярными движениями не сводится к простому наложению друг на друга соответствующих ветвей дисперсионного уравнения, но проявляется в деформации, объединении, перезакрытии с образованием новых ветвей. Этого, собственно говоря, и следовало ожидать, поскольку эффекты, связанные с различными релаксационными процессами, входят в дисперсионное уравнение (7) не аддитивным, но мультипликативным образом. Интересно, что взаимодействуют между собой только волны (ветви дисперсионного уравнения, описывающие

Рис. 4. $\gamma_2 = 0.65$.

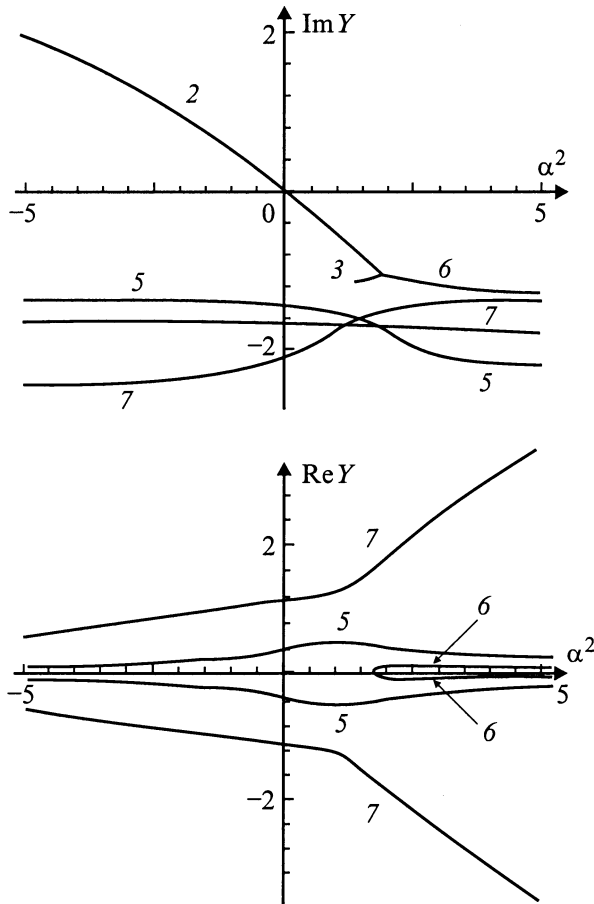


Рис. 5. $\gamma_2 = 0.8$.

волновые движения), взаимодействие же аperiodически изменяющихся движений жидкости и волновых не имеет места. Во всех ситуациях взаимодействие происходит, когда частоты и декременты соответствующих волновых процессов становятся равными (т.е. при пересечении ветвей дисперсионного уравнения, описывающих различные волновые движения). После перезамыкания взаимодействующих ветвей с образованием составных движений при дальнейшем изменении параметра γ_2 ветви, описывающие частоты вновь образовавшихся составных движений, расходятся. Причем частоты одного из новых движений растут при снижающемся декременте затухания, а для другого волнового движения частоты снижаются, а декременты растут так, что это движение можно считать волновым лишь условно.

Численные расчеты показывают, что структуры капиллярных и дисперсионных волн с одним характерным временем релаксации качественно идентичны, т.е. в обоих случаях имеются одна ветвь, описывающая затухающие волновые движения, существующая на полубесконечном интервале значений параметра α^2 , и две ветви затухающих движений жидкости, из которых одна весьма короткая, исчезающая (уходящая на другой лист римановой поверхности) при определенных значениях физических

параметров системы (α^2, γ, β). Другая же ветвь аperiodических движений существует на полубесконечном интервале значений параметра α^2 . Что касается влияния эффекта релаксации поверхностного натяжения на величину инкремента неустойчивости Тонкса–Френкеля, то в численных расчетах выяснилось, что с увеличением характерного времени релаксации τ на порядок величина инкремента снижается примерно на одну десятую и существенно зависит лишь от степени критичности поверхностного заряда, быстро увеличиваясь с его ростом.

В заключение отметим, что спектр капиллярно-релаксационных движений жидкости с заряженной свободной поверхностью при учете эффекта релаксации поверхностного натяжения, когда существенны два различных характерных релаксационных времени, обусловленные различными физическими механизмами, формируется при заметном влиянии взаимодействия волновых движений жидкости, связанных как с капиллярно-гравитационным механизмом, так и с обоими релаксационными процессами. Релаксационные волновые движения жидкости, связанные с различными релаксационными процессами, взаимодействуют друг с другом и с капиллярно-гравитационными волнами нелинейным образом. Увеличение характерного времени релаксации поверхностного натяжения заряженной свободной по-

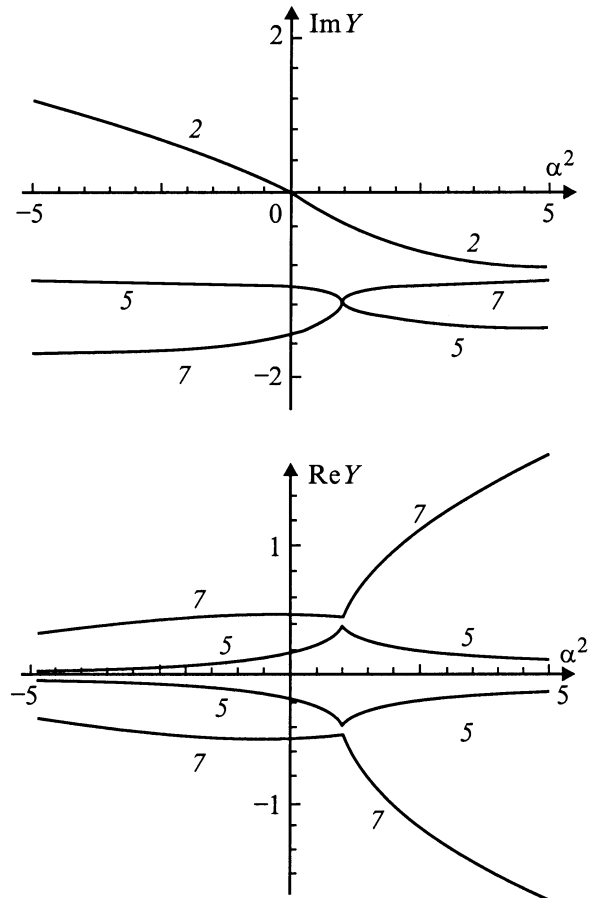


Рис. 6. $\gamma_2 = 0.93$.

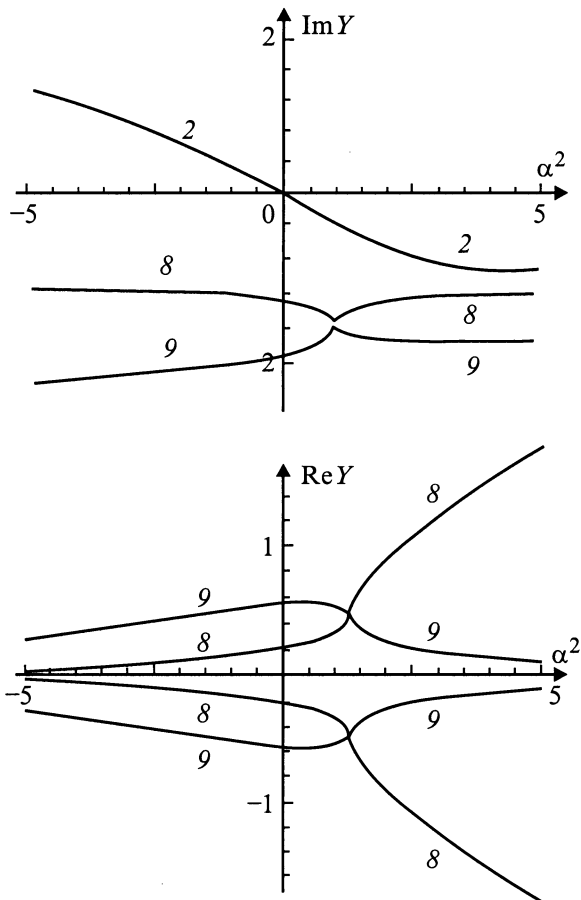


Рис. 7. $\gamma_2 = 0.94$.

верхности приводит к незначительному снижению инкремента неустойчивости Тонкса–Френкеля.

При экспериментальном исследовании эффекта релаксации поверхностного натяжения следует учитывать возможность наличия нескольких характерных времен релаксации, а также то, что регистрируемые волны могут относиться не к чисто релаксационным, но к составным волновым процессам, образованным при взаимодействии капиллярно-гравитационных волн с одним или несколькими релаксационными волновыми процессами. В этой связи представляется целесообразным проводить экспериментальные измерения в нескольких диапазонах физических параметров, характеризующих систему, и обращать внимание на быстро затухающие волновые процессы, которые могут быть связаны с релаксационными явлениями. Для выявления различных релаксационных процессов в динамике поверхностного натяжения можно, например, воспользоваться различной их температурной зависимостью: так, растворимость и концентрация поверхностно-активных веществ от температуры зависят весьма существенно, тогда как диффузионный компонент формирования двойного электрического слоя зависит от температуры в основном через слабую зависимость от нее коэффициентов переноса [15].

Список литературы

- [1] Быковский Ю.А., Манькин Э.А., Полуэктов П.П. и др. // ЖТФ. 1976. Т. 46. Вып. 11. С. 2211–2213.
- [2] Пастухов Б.А., Пасынков С.Б., Хлынов В.В. и др. // Расплавы. Т. 1. № 3. С. 63–67.
- [3] Vonfillon A. // J. Coll. Int. Sci. 1994. Vol. 164. N 2. P. 497–504.
- [4] Григорьев О.А., Ширяева С.О. // Изв. РАН. МЖГ. 1996. № 1. С. 98–105.
- [5] Левачева Г.А., Манькин Э.А., Полуэктов П.П. // Изв. АН СССР. МЖГ. 1985. № 2. С. 17–22.
- [6] Shiryayeva S.O., Grigor'ev A.I. // J. Electrostatics. 1995. Vol. 34. P. 51–59.
- [7] Ширяева С.О., Григорьев А.И. // ЖТФ. 1994. Т. 64. Вып. 3. С. 13–25.
- [8] Монодиспергирование вещества: принципы и применение / Под ред. В.А. Григорьева. М.: Энергоатомиздат, 1991. 336 с.
- [9] Григорьев О.А. // Письма в ЖТФ. 1994. Т. 20. Вып. 24. С. 15–21.
- [10] Ширяева С.О., Григорьев О.А., Григорьев А.И. // ЖТФ. 1996. Т. 66. Вып. 10. С. 31–46.
- [11] Кристиансен Р. Введение в теорию вязкоупругости. М.: Мир, 1974. 340 с.
- [12] Ландау Л.Д., Лифшиц Е.М. Электродинамика сплошных сред. М.: Наука, 1982. 620 с.
- [13] Левич В.Г. Физико-химическая гидродинамика. М.: Физматгиз, 1959. 699 с.
- [14] Антонюк П.Н. // ДАН СССР. 1986. Т. 286. № 6. С. 1324–1328.
- [15] Рид Р., Шервуд Т. Свойства газов и жидкостей. Л.: Химия, 1971. 702 с.